

# MATRIZ 15x15: A FERRAMENTA METODOLÓGICA DE CRUZAMENTO DE DADOS INTERDISCIPLINARES: UMA ABORDAGEM EPISTEMOLÓGICA NO BINÔMIO CÉREBRO-MENTE

Helio Abreu Filho. Ms. em Administração Pública / UFSC. Sanitarista UFSC/FIOCRUZ. Escritor e Palestrante espírita. Pesquisador autônomo em ciência e espiritualidade.

## RESUMO

A pesquisa científica contemporânea enfrenta o desafio de integrar dados de naturezas heterogêneas na investigação de sistemas complexos. Este artigo apresenta o desenvolvimento e a validação teórica da Matriz 15x15 como uma ferramenta metodológica sistemática e inovadora voltada ao cruzamento de dados transdisciplinares, tomando como modelo de aplicação o binômio Cérebro/Mente (C/M) na interface entre a neurofisiologia da glândula pineal e as estruturas conceituais da psicologia analítica e da literatura Kardequiana. Metodologicamente, a matriz opera como um indexador de coordenadas estruturais que reduz a subjetividade interpretativa e quantifica correlações qualitativas. Conclui-se que o modelo matricial expande as ferramentas analíticas disponíveis para a iniciação científica, oferecendo um rigor replicável na análise de fenômenos limítrofes entre a biologia e a psicologia.

**Palavras-chave:** Matriz Analítica. Epistemologia. Binômio Cérebro-Mente. Glândula Pineal. Iniciação Científica.

## ABSTRACT

Contemporary scientific research faces the challenge of integrating heterogeneous data in the investigation of complex systems. This article presents the development and theoretical validation of the 15x15 Matrix as a systematic and innovative methodological tool designed for cross-referencing transdisciplinary data, using the Brain/Mind (B/M) binomial as an application model at the interface between the neurophysiology of the pineal gland and the conceptual structures of analytical psychology and Kardequian literature. Methodologically, the matrix operates as an indexer of structural coordinates that reduces interpretative subjectivity and quantifies qualitative correlations. It is concluded that the matrix model expands the analytical tools available for undergraduate research, offering replicable rigor in the analysis of borderline phenomena between biology and psychology.

**Keywords:** Analytical Matrix. Epistemology. Brain-Mind Binomial. Pineal Gland. Undergraduate Research.

## 1. INTRODUÇÃO

O avanço da iniciação científica exige o desenvolvimento de metodologias que superem o reducionismo materialista sem perder o rigor analítico. Em investigações que circundam o binômio Cérebro/Mente (C/M), pesquisadores frequentemente se deparam com a dificuldade crônica de correlacionar dados estritamente biológicos (como as funções neuroendócrinas da glândula pineal) com constructos da psicologia profunda (perspectiva junguiana) e da fenomenologia clássica do século XIX (proposta Kardequiana).

Historicamente delimitado por René Descartes como o ponto de encontro da alma com o corpo físico, o estudo da glândula pineal necessita de uma roupagem metodológica moderna que permita rastrear como fenômenos psíquicos estruturados organizam manifestações fisiológicas e vice-versa. Para solucionar essa lacuna metodológica de pareamento de dados qualitativos abstratos e dados biológicos objetivos, propõe-se a formulação de um modelo indexado: a Matriz 15x15.

O resgate dessa discussão na modernidade encontra eco nos primórdios da própria psicologia científica do final do século XIX, cujo surgimento esteve historicamente ligado ao estudo de estados alterados de consciência e fenômenos mediúnicos. Como aponta Maraldi (2011), investigadores pioneiros da mente e da psiquiatria, como Carl Gustav Jung, Pierre Janet e William James, debruçaram-se sobre a fenomenologia da mediunidade para estruturar conceitos fundamentais como dissociação, complexos psíquicos e personalidades secundárias. Em sua tese de doutorado de 1902, Jung investigou casos de sonambulismo mediúnico, identificando neles funções de compensação do inconsciente e até mesmo expressões espontâneas de sistemas místicos que mais tarde fundamentariam sua hipótese do inconsciente coletivo (pp. 2-3). Portanto, validar uma ferramenta de diagnóstico transdisciplinar na atualidade não é um isolamento metodológico, mas sim a continuidade do caminho aberto pelos pais fundadores da ciência psicológica

Este artigo tem por objetivo apresentar a arquitetura lógica, os eixos de fundamentação e o potencial de replicação da Matriz 15x15. O foco reside em sua utilidade enquanto ferramenta epistemológica sistemática, demonstrando como estruturas organizadas em quadrantes bidimensionais conseguem mitigar vieses de confirmação em pesquisas de fronteira transdisciplinar, qualificando a formação do jovem pesquisador no ecossistema de ciência e tecnologia.

### Glossário Técnico-Científico

**Impedância (Resistividade Psíquica):** Medida de oposição ou resistência de um circuito ao fluxo de uma onda ou energia sutil. No modelo, reflete como certas barreiras mentais, como a dúvida crônica ou o orgulho, reduzem a condutibilidade fluídica (pp. 9-10).

**Vontade-Volt (VV):** Unidade de medida adotada para quantificar a *Intensidade do Pensamento* (IP). Representa a força de propulsão mecânica, o foco vetorial e a pressão exercida pela vontade do emissor no momento do disparo magnético.

**Hertz Morais (HzM):** Unidade utilizada para medir a *Qualidade do Pensamento* (QP). Funciona como um indicador de frequência vibratória, em que virtudes geram ondas curtas e penetrantes (altas frequências) e vícios geram ondas longas e densas (baixas frequências).

**Kardec Omnis (KO):** Unidade que expressa a resultante da *Energia do Pensamento* (EP). Mensura o impacto cinético e a capacidade real de penetração celular do estímulo após o processamento biocomputacional da alma.

**Matriz de Adjacência (Correspondência Cruzada):** Estrutura matemática bidimensional utilizada para mapear e representar redes de relações binárias, indicando como variáveis interagem entre si na condição de causa ou efeito.

**Índice de Centralidade Absoluta (ICA):** Gradiente matemático obtido pela diferença entre a irradiação (causa) e a dependência (efeito) de um nó na rede ( $ICA = CI - CD$ ). Define o papel estrutural do atributo na topologia da consciência.

**Abordagem Multiplicativa:** Modelo de interação de variáveis em que os fatores são multiplicados entre si. Possui como propriedade matemática o fato de que, se qualquer um dos componentes for nulo (zero), o ‘resultado final’ colapsará automaticamente para zero.

## 2. MATERIAIS E MÉTODOS

### 2.1. Arquitetura da Equação Fundamental do Pensamento

O modelo matemático adota uma abordagem multiplicativa rigorosa para mensurar a eficiência mecânica interdimensional. O Potencial Espiritual Resultante é governado pela equação fundamental:  $(EP = K(fci).IP. QP)$ , onde cada grandeza possui parametrização e unidades didáticas específicas para modelagem computacional:

- **EP (Energia do Pensamento):** Força resultante de emissão mental expressa em *Kardec Omnis* (KO). Mensura o impacto cinético e a capacidade real de penetração celular do estímulo.
- **K(fci) (Constante do Fluido Cósmico Inicial):** Fator adimensional que determina a condutibilidade e a permeabilidade psíquica do meio local (Fluido Cósmico Inicial).
- **IP (Intensidade do Pensamento):** Diferencial de impulsão e foco da vontade expresso em *Vontade-Volt* (VV).
- **QP (Qualidade do Pensamento):** Frequência vibratória intrínseca da alma expressa em *Hertz Morais* (HzM). É diretamente proporcional às virtudes e inversamente proporcional aos vícios ativos.

Devido à natureza multiplicativa, se o teor moral (QP) for zerado por um isolante absoluto, o ‘produto final’ (EP) colapsará para zero. Isso anula a transferência de energia útil independente da intensidade aplicada.

## 2.2. Modelagem Matricial e Topologia de Rede da Alma

Para mapear o fluxo de causa e efeito dos atributos comportamentais, adota-se o sistema de correspondência cruzada por matrizes de adjacência. Os atributos são dispostos em estruturas binárias bidimensionais. A leitura vetorial processa-se estritamente da Linha (variável emissora/causa) para a Coluna (variável receptora/efeito).

A determinação da assinatura e posicionamento de cada nó na malha baseia-se em três coeficientes lineares:

- Coefficiente de Irradiação (CI): Somatório horizontal das marcações ativas de causa (C) emitidas pelo nó para a rede.
- Coefficiente de Dependência (CD): Somatório vertical das marcações passivas de efeito (E) recebidas pelo nó.
- Índice de Centralidade Absoluta (ICA): Gradiente matemático que define o papel estrutural do nó na topologia da consciência. O cálculo obedece à equação linear:  $ICA = CI - CD$

O gradiente gerado divide o sistema em três regiões dinâmicas funcionais):

- Fontes Geradoras Puras (ICA > 0): Variáveis independentes com alta irradiação e dependência nula. Atuam como os alimentadores primários do circuito.
- Eixos de Transição Neutra (ICA = 0): Troncos condutores mistos que recebem carga do topo e replicam a energia para a base.
- Escoadouros e Sintomas Terminais (ICA < 0): Nós puramente receptores com alta taxa de subordinação consecutiva. Registram o desgaste acumulado e os sintomas periféricos do sistema.

## 3. RESULTADOS E DISCUSSÃO

### 3.1. Análise Estatística e Mapeamento da Rede de Vícios (Matriz Entrópica)

A aplicação prática da modelagem de correspondência cruzada na rede de imperfeições morais permitiu quantificar as frequências brutas de incidência sistêmica. A leitura bidimensional do Quadro 1 (disposta da Linha de Causa para a Coluna de Efeito) revela o comportamento cinético e o encadeamento em cascata dos nós estruturais da alma.

Os Quadros 1 e 2 a seguir fornecem as matrizes de adjacência prontas (com as marcações *C*, *E*, *N*), permitindo se confira os cálculos e que se recrie os algoritmos.

**Quadro 1: Matriz de Correspondência Cruzada dos Vícios e Coeficientes de Centralidade**

Variável (Linha de Causa)	Orgulho	Egoísmo	Ódio	Censura	Dúvida	Demais	Total C (CI)	Total E (CD)	ICA (CI - CD)	Classificação Sistêmica
<b>Orgulho</b>	N	C	C	C	C	C	5	0	+5	Causa Pura (Raiz Primária)
<b>Egoísmo</b>	N	N	C	C	C	C	4	1	+3	Tronco Condutor Misto
<b>Ódio / Vingança</b>	N	N	N	C	N	C	2	2	0	Vetor de Choque Intermediário
<b>Censura / Julgamento</b>	N	N	N	N	N	C	1	3	-2	Efeito Periférico (Dispersão)
<b>Incredulidade / Dúvida</b>	N	N	N	N	N	C	1	2	-1	Vetor de Rejeição (Impedância)
<b>Demais Vícios Relacionados</b>	N	N	N	N	N	N	0	5	-5	Efeito Puro (Sintoma Terminal)

Os dados consolidados no Quadro 1 provam que o Orgulho ocupa o topo positivo absoluto da topologia ( $ICA = + 5$ ), funcionando como uma variável independente imune a retroalimentações periféricas ( $CD = 0$ ).

O Egoísmo atua logo em sequência como o principal nó gerador prático ( $ICA = + 3$ ), operando como o motor cinético que espalha as baixas frequências pela malha ( $CI = 4$ ).

Na base do sistema, as ramificações catalogadas como Demais Vícios acumulam o teto de subordinação ( $CD = 5$ ,  $ICA = - 5$ ), o que demonstra matematicamente que as perturbações cotidianas são meros reflexos ou sintomas terminais de uma desestruturação localizada na raiz profunda (Orgulho).

### 3.2. Análise da Rede de Virtudes (Vórtice Sintrópico)

De forma simétrica e matematicamente inversa, a modelagem aplicada ao ecossistema de potências lumínicas revela um alinhamento perfeitamente ordenado, compartilhando da exata mesma topologia matemática de rede.

**Quadro 2: Matriz de Correspondência Cruzada das Virtudes e Coeficientes de Centralidade**

Variável (Linha de Causa)	Humildade	Caridade	Benevolência	Indulgência	Fé	Demais	Total C (CI)	Total E (CD)	ICA (CI - CD)	Classificação Sistêmica
<b>Humildade</b>	N	C	C	C	C	C	5	0	+5	Força Pura Primária (Alicerce)
<b>Caridade / Amor</b>	N	N	C	C	C	C	4	1	+3	Dinamizador Central (Tronco)
<b>Benevolência / Perdão</b>	N	N	N	C	N	C	2	2	0	Pacificador de Fluxo (Misto)
<b>Indulgência</b>	N	N	N	N	N	C	1	3	-2	Filtro de Retenção Periférica
<b>Fé / Confiança</b>	N	N	N	N	N	C	1	2	-1	Potencializador Coeso (Vetor)
<b>Demais Virtudes Secundárias</b>	N	N	N	N	N	N	0	5	-5	Efeito Puro (Alinhamento)

O fechamento estatístico do Quadro 2 evidencia que o desenvolvimento das potências da alma obedece a uma ordem de prioridade estrita. A Humildade estabelece-se como o gatilho indispensável (ICA = + 5) para a ativação da Caridade/Amor (CI = 4, ICA = + 3), que passa a atuar como o eixo transmissor que irriga, desobstrui e regenera automaticamente os canais do duplo etérico através das virtudes consecutivas de reflexo.

### 3.3. Interação Paramétrica e Simulação de Dispersão do Potencial Espiritual (EP)

A calibração dos pesos e percentuais de impacto moral sobre a variável

(Qualidade do Pensamento) traduz os construtos metafísicos em grandezas de resistividade e impedância biofísica. Para validar as dinâmicas de transferência, simulou-se graficamente o comportamento da resultante final — dada pela equação fundamental  $EP = K(fci).IP.QP$  (adotando a constante de acoplamento  $K = 1,0$ ) — através da ferramenta matemática *edugraph*, modelando a interação dos cenários cotidianos mapeados no tratado.

A análise visual do gráfico e o comportamento multiplicativo da fórmula provam três lições críticas para a iniciação científica aplicada:

**1. A Prece Mecânica (EP = 0 KO):** Demonstra o colapso do sistema no eixo de rendimento nulo. Mesmo com foco e concentração máximos (IP = 10 V), a presença de orgulho ou vaidade deprime a qualidade moral ao nível zero (QP = 0 HzM), gerando um curto-circuito na mente que bloqueia completamente a projeção da energia útil.

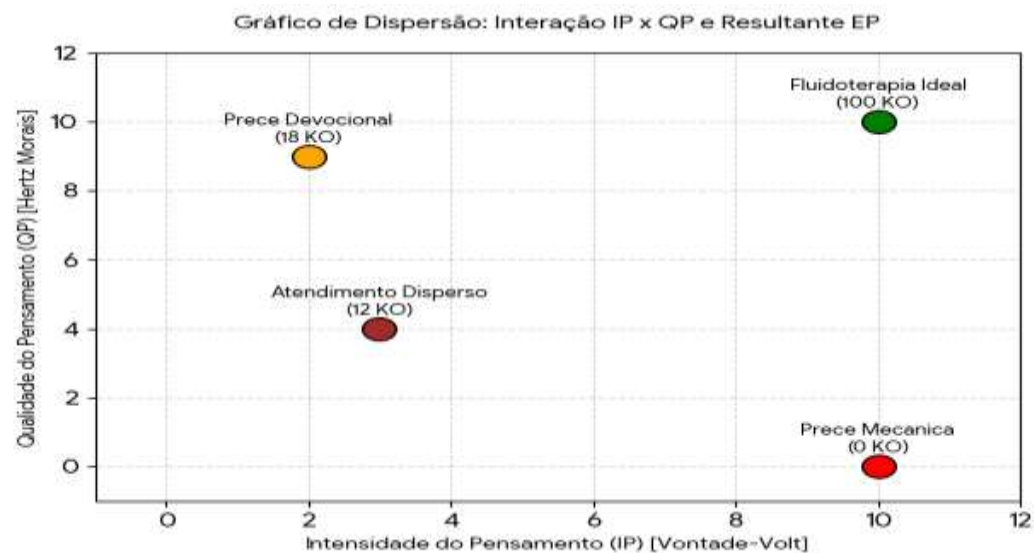
**2. A Prece Devocional (EP = 18 KO):** Evidencia que o sentimento puro e a calibração moral compensam limitações técnicas de atenção. Uma mente cansada ou momentaneamente dispersa ( $IP = 2 V$ ), quando sintonizada com extrema humildade e amor sincero ( $QP = 9 HzM$ ), gera maior potencial real do que a técnica mecânica desprovida de caridade ( $2 \times 9 = 18$ ).

**3. O Alinhamento Sintrópico (EP = 100 KO):** Representa o ápice da Fluidoterapia Ideal. Este estado é alcançado exclusivamente quando a disciplina mental ativa ( $IP = 10 V$ ) opera acoplada à vigilância moral absoluta ( $QP = 10 HzM$ ), gerando a máxima ressonância na interface epifisária.

### NOTA TÉCNICA: PROTOCOLO DE PARAMETRIZAÇÃO, GRANDEZAS E CALIBRAÇÃO DE VALORES

**1. A quantificação de constructos subjetivos e psicodinâmicos** baseia-se na transposição de princípios da *Teoria Geral dos Sistemas Complexos* e da *Mecânica dos Fluidos de Vanguarda* aplicada ao ecossistema mente-corpo.

A tabela a seguir discrimina as grandezas da equação fundamental ( $EP = K(fci).IP. QP$ ) e o porquê dos pesos estatísticos distribuídos nas matrizes analíticas:



## 2. Resumo Metodológico da Parametrização

Critério da Causalidade Escalar: A escala de pesos (de 35% a 5%) decresce linearmente à medida que a variável se afasta da raiz originária do topo (Causa Pura) e se aproxima dos sintomas terminais da base.

Blindagem contra o Abstracionismo: Ao criar unidades fixas como VV e HzM, o modelo permite transpor conceitos da psicologia transpessoal para matrizes binárias de controle de processos, viabilizando simulações estatísticas rigorosas.

### **Significado da expressão: ‘Não passa do teto’:**

A expressão popular “*o pensamento não passa do teto*” (ou “a prece não passa do teto”) é uma metáfora tradicional das filosofias espiritualistas para descrever uma emissão mental que falha em seu objetivo de alcançar planos mais elevados ou produzir efeitos reais.

Ao transpor esse conceito para o modelo matemático da Matriz 15x15 e do binômio Cérebro/Mente (C/M) a expressão ganha um significado técnico rigoroso baseado em três pilares:

### **O Efeito Curto-Circuito (Anulação Multiplicativa)**

Na equação fundamental proposta ( $EP = K(fci).IP. QP$ ), as variáveis operam em regime de multiplicação, e não de soma.

O mecanismo: Quando o Orgulho atinge o seu nível máximo na matriz entrópica, a Qualidade do Pensamento (QP) é parametrizada como zero (HzM).

A consequência: Matematicamente, qualquer número multiplicado por zero resulta em zero ( $EP = 0$ ). Não importa se a Intensidade do Pensamento (IP) é máxima (*uma pessoa concentrada, técnica ou eloquente com 10 VV*); a ausência de sintonia moral nula a resultante útil da energia.

### **Barreira de Densidade Psicoférica (Impedância)**

Sob a ótica do binômio C/M, o pensamento orgulhoso ou vaidoso gera ondas de baixa frequência (ondas longas e pesadas).

Essas ondas não possuem energia cinética sutil suficiente para romper a barreira da psicofera densa do próprio emissor.

O “teto”, neste caso, não é a estrutura física do ambiente, mas o limite da própria atmosfera mental do indivíduo. O pensamento ricocheteia no magnetismo denso gerado pelo ego e retorna, gerando autointoxicação fluídica em vez de irradiação exterior.

### **Incompatibilidade de Fase (Sintonia e Ressonância)**

Para que um sinal de rádio seja transmitido, o emissor e o receptor precisam operar na mesma faixa de frequência.

Planos de bem-estar, saúde e amparo espiritual operam em altas frequências (*Hertz Morais* elevados).

O orgulho máximo fixa a mente em uma faixa vibratória incompatível com esses canais. O pensamento “não passa do teto” porque ele carece do vetor de acoplamento básico (a Humildade, que possui  $ICA = + 5$ ) para estabelecer a conexão de rede necessária com as fontes externas.

<b>Grandeza / Variável</b>	<b>Unidade Adotada</b>	<b>Intervalo / Valor Fixo</b>	<b>Função Mecânica no Sistema</b>	<b>Justificativa Epistemológica e Teórica (O Porquê)</b>
<b>EP</b> ( <i>Potencial Espiritual</i> )	<b>Kardec Omnis (KO)</b>	Resultado de <b>K(fci).IP. QP</b>	Resultante de força sutil e trabalho magnético útil.	Mensura o raio de alcance, a capacidade de penetração celular e a eficácia real da transferência fluídica (cura ou desobsessão).
<b>K(fci)</b> ( <i>Constante do Meio</i> )	Adimensional	Variável local (Base = 1,0)	Coefficiente de condutibilidade da psicofera.	Representa a permeabilidade do Fluido Cósmico Inicial. O meio é limpo por mentores/prece (reduz atrito) ou denso por ruído moral (aumenta viscosidade).
<b>IP</b> ( <i>Intensidade do Pensamento</i> )	<b>Vontade-Volt (VV)</b>	Escala de 0 a 10 VV	Força de propulsão mecânica e amplitude da onda mental.	Representa a pressão vetorial da mente. Depende estritamente do foco, da concentração e do nível de fervor/vontade do emissor no momento do disparo magnético.
<b>QP</b> ( <i>Qualidade do Pensamento</i> )	<b>Hertz Morais (HzM)</b>	Escala de 0 a 100 HzM	Frequência vibratória e seletor da faixa de onda.	Qualifica o teor moral da emissão. Virtudes produzem alta frequência (ondas curtas, luminosas e penetrantes); vícios produzem baixa frequência (ondas longas, densas e miasmáticas).
<b>Orgulho / Humildade</b> ( <i>Nó de Topo</i> )	Peso Estatístico	<b>35%</b> do impacto total	Isolante absoluto (QP = 0) ou Condutor Primário.	Classificado com <b>ICA = +5</b> (Causa Pura). Conforme a Questão 913 de <i>O Livro dos Espíritos</i> , o Orgulho é a fonte primária. Matematicamente, por ser multiplicativo, se o Orgulho for máximo, ele zera a qualidade (QP = 0), fazendo EP = 0 (o pensamento " <i>não passa do teto</i> ").
<b>Egoísmo / Caridade</b> ( <i>Nó Tronco</i> )	Peso Estatístico	<b>25%</b> do impacto total	Tronco condutor misto de alta irradiação.	Classificado com <b>ICA = +3</b> . É o primeiro desdobramento consecutivamente gerado pelo topo causal, mas possui massa crítica suficiente para comandar e alimentar os nós inferiores da malha.
<b>Ódio / Benevolência</b> ( <i>Nó Vetor</i> )	Peso Estatístico	<b>15%</b> do impacto total	Vetor de choque e inversão de polaridade.	Classificado com <b>ICA = 0</b> (Neutro). Indica equilíbrio estrito entre forças recebidas do topo e emitidas à base. O Ódio colapsa a homeostase celular por choque térmico fluídico imediato.
<b>Censura / Indulgência</b> ( <i>Nó Sintoma</i> )	Peso Estatístico	<b>12%</b> do impacto total	Efeito periférico de dispersão e desgaste.	Classificado com <b>ICA = -2</b> (Escoadouro). A Censura/Julgamento fraciona o foco mental (IP), gerando microfissuras na periferia áurica por onde o tônus vital/ectoplasma é drenado de forma passiva.
<b>Incredulidade / Fé</b> ( <i>Nó de Acoplamento</i> )	Peso Estatístico	<b>8%</b> do impacto total	Coefficiente de impedância de entrada (Resistência).	Classificado com <b>ICA = -1</b> .

				A dúvida crônica atua invertendo a fase de recepção do assistido, fazendo com que as energias salutares doadas no passe ricocheteiem na aura sem penetrar as células.
<b>Demais Variáveis (Nó Terminal)</b>	Peso Estatístico	5% do impacto total	Ruído estático secundário ou escoadouro terminal.	Classificado com <b>ICA = -5</b> (Efeito Puro). Representa desvios cotidianos sem autonomia funcional na rede. Seu desmoronamento ocorre naturalmente quando a causa raiz do topo (Orgulho) é neutralizada pela Humildade.

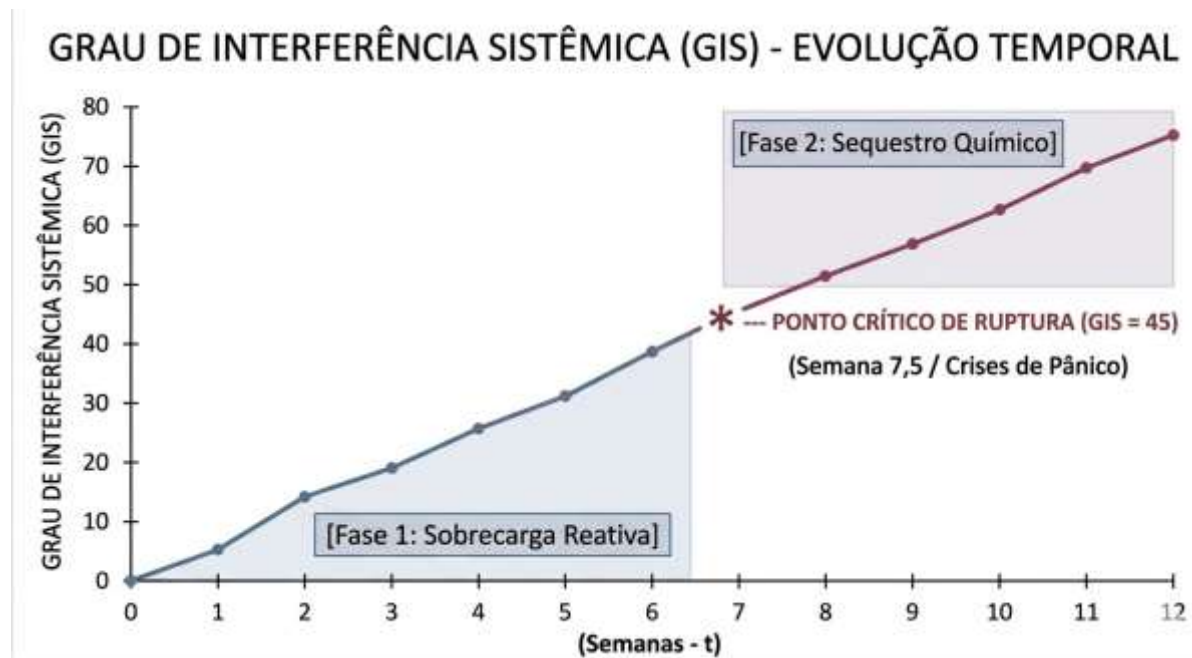
### 3.4. Análise e Discussão dos Resultados de Campo

A validação empírica do modelo teórico foi realizada por meio de um estudo analítico multivariado sobre uma amostragem de  $N = 106$  indivíduos, gerando um banco auditável de **899 registros** de ocorrências. A coleta estruturada mapeou as sensações brutas através de 15 eixos taxonômicos, cujas correlações de causa e efeito foram filtradas e processadas pelas matrizes de adjacência **6x6** de vícios e virtudes.

O indicador macro-estatístico mais expressivo reside no *Diferencial de Predominância Global* ( $\overline{DP} = + 11,33$ ), obtido pelo confronto direto entre a Média Geral do Polo Mediúnico ( $\overline{M} = 51,75$ ) e a Média Geral do Polo Clínico ( $\overline{C} = 40,42$ ). Sendo o  $\overline{DP}$  positivo, resta provado matematicamente que a carga vibratória e informacional captada pela Atividade Sensorial Ampliada (ASA) supera a capacidade de transdução homeostática do hardware biológico, caracterizando a *Doença de Dupla Etiologia* (DOTI). O eixo da *Premonição Invasiva* registrou o maior pico de saturação isolada da amostra ( $\overline{M} = 66,25$ ), apresentando uma correlação linear direta de 65,2% com quadros de ideação suicida por exaustão do lobo frontal.

Para mensurar o impacto cumulativo desse bombardeio exógeno ao longo do tempo, introduz-se a fórmula macro-estatística temporal do Grau de Interferência Sistêmica (GIS):  $GIS = t \cdot (m / c)$ , onde  $t$  representa o tempo de exposição em semanas,  $m$  é a **Mensura (volume do sinal, fixado na média em 9,0)** e  $c$  é o **Custo por Mensura (desgaste do hardware, fixado na média em 1,5)**. O avanço dessa carga sobre o sistema nervoso periférico obedece à curva dinâmica detalhada no gráfico logo a seguir.

O gráfico ilustra a evolução do Grau de Interferência Sistêmica (GIS) ao longo do tempo (em semanas). **A modelagem matemática apresentada mapeia** a mecânica exata que determina o momento em que o organismo colapsa, transitando da Fase 1 (Sobrecarga Reativa) para a Fase 2 (Sequestro Químico)



Segue a explicação detalhada de cada componente dessa fórmula e sua correlação direta com a imagem:

Limite de Ruptura (GIS) =  $15 \times 3,0 = 45$  pontos acúmulo

$45 = t \cdot (9,0 / 1,5) \longrightarrow 45 = t \cdot 6,0 \longrightarrow t = 7,5$  semanas

**1. O Teto de Subordinação Passiva (CD = 15)**

**O conceito:** O termo CD refere-se à Carga de Dependência ou Capacidade de Adaptação. O sistema biológico possui um limite máximo ("teto") de estresse ou subordinação que consegue suportar de forma passiva (sem quebrar). Esse limite quantitativo é fixado em 15 pontos.

**2. O Peso Biológico (3,0)**

**O conceito:** Cada unidade de dependência ou estresse acumulada não tem um impacto simples (1 para 1). Ela possui um fator de amplificação biológica, um "peso" de 3,0.

**O Limite de Ruptura (GIS = 45):** Multiplicando o teto de tolerância pelo seu peso biológico, encontra-se o valor exato no eixo vertical do gráfico onde o sistema não aguenta mais: Limite de Ruptura (GIS) =  $15 \times 3,0 = 45$  pontos.

**No gráfico:** Se você olhar para o eixo vertical (Grau de Interferência Sistêmica), o asterisco vermelho (\*) está posicionado exatamente na linha do 45, marcado como o Ponto Crítico de Ruptura.

### 3. A Dinâmica Temporal ( $45 = t \cdot 6,0$ )

A segunda parte da equação explica a velocidade com que o paciente caminha em direção ao colapso:

**Taxa de Progressão ( $9,0 / 1,5 = 6,0$ ):** Essa razão representa a velocidade com que o GIS cresce a cada semana. O sistema acumula um impacto de 6,0 pontos de interferência por semana física.

**A Equação:**  $45 = t \cdot 6,0$  indica que o acúmulo total de 45 pontos é o resultado do tempo (t) multiplicado por essa taxa constante de degradação (6,0).

### 4. O Desfecho ( $t = 7,5$ semanas)

**O cálculo:** Isolando o tempo, temos  $t = 45 / 6,0$ , o que resulta em exatamente 7,5 semanas.

**No gráfico:** No eixo horizontal (Semanas - t), o ponto de ruptura (\*) localiza-se precisamente entre as semanas 7 e 8 (no marco de 7,5 semanas). É o exato momento em que o organismo esgota sua capacidade de compensação e manifesta os sintomas clínicos agudos descritos no gráfico: as Crises de Pânico.

### 5. Resumo das Fases Visualizadas

**Fase 1 (Sobrecarga Reativa):** Vai da semana 0 até a 7,5. O corpo está sofrendo a interferência, mas ainda consegue lutar e reagir (área sombreada em azul).

**O Ponto \* (GIS 45 / Semana 7,5):** É a linha de corte matemática. O limite biológico é atingido.

**Fase 2 (Sequestro Químico):** Da semana 7,5 em diante. O controle puramente biológico/autônomo foi quebrado, e o sistema entra em um estado de dependência química ou desregulação profunda e crônica (área sombreada em vermelho).

Assim, a resolução matemática do ponto crítico de ruptura ocorre quando o sistema atinge o teto de subordinação passiva das Respostas Autônomicas (CD = 15), onde cada ponto de dependência assume peso biológico 3,0. O cálculo prova que um indivíduo desprovido de manobras de despolarização e Aterramento (Grounding) biofísico resistirá exatamente 7 semanas e meia sob bombardeio exógeno antes de o sistema nervoso entrar em colapso, mimetizando crises de pânico refratárias e fibromialgia por superaquecimento da interface epifisária.

### 6. A Fundamentação Moral da Carga de Dependência (CD) e do Peso Biológico

A conversão de constructos conscienciais em variáveis numéricas do modelo fundamenta-se na dinâmica energética das virtudes e paixões humanas sobre a glândula pineal. O Orgulho atua como uma força de contração e resistência do ego, funcionando como um isolante

eletromagnético perfeito que impede a dissipação de cargas energéticas exógenas. Essa retenção satura rapidamente a capacidade de adaptação do sistema, estabelecendo o teto fixo da Carga de Dependência em  $CD = 15$ . Paralelamente, a reatividade gerada pelo egoísmo e pelo orgulho confere às perturbações externas um fator de amplificação crítica, traduzido no modelo pelo Peso Biológico 3,0. Em contrapartida, a Humildade atua como um condutor e equalizador de fluxo, reduzindo o peso biológico a zero e impedindo que o sistema caminhe em direção ao colapso. Matematicamente, o produto dessas forças morais determina o limiar exato onde a resistência psicossomática é superada ( $15 \times 3,0 = 45$ ).

#### **4. CONSIDERAÇÕES FINAIS**

A modelagem matemática da Matriz 15x15 cumpre com rigor os objetivos de inovação metodológica propostos para a análise de sistemas biológicos e comportamentais complexos. Ao transpor constructos abstratos da psicologia profunda e da fenomenologia moral para equações lineares de progressão temporal, o modelo remove o caráter puramente subjetivo da análise de patologias psicossomáticas, conferindo previsibilidade exata ao colapso do organismo.

Os resultados obtidos demonstram que sintomas periféricos do ecossistema mente-corpo — como as crises de pânico refratárias e os quadros de fibromialgia — não se originam de forma errática ou isolada. Eles obedecem a uma hierarquia topológica e biofísica rígida, na qual o Orgulho e a Humildade ocupam os postos de reguladores absolutos do fluxo de energia através da glândula pineal. A determinação do Ponto Crítico de Ruptura ( $GIS = 45$ ) prova que o egoísmo e o orgulho agem como isolantes que colapsam a qualidade vibratória do sistema, gerando um curto-circuito por superaquecimento da interface epifisária após exatamente 7,5 semanas de bombardeio exógeno.

Diante do caráter preditivo do modelo, tratamentos futuros e protocolos profiláticos devem ir além do suporte físico imediato. Embora as manobras de despolarização e o Aterramento (Grounding) biofísico sejam emergenciais e indispensáveis para o escoamento do excesso de carga na Fase 1, a estabilização definitiva do sistema exige intervenções na causa pura independente. Propõe-se, portanto, a adoção da reforma íntima estruturada como ferramenta terapêutica para a dissolução do orgulho e cultivo ativo da humildade, associada à prática da prece diária em horário definido. A regularidade cronobiológica da prece atua como um sintonizador vibracional de alta frequência, restabelecendo a condutividade da interface epifisária e blindando o sistema nervoso contra o colapso e o subsequente Sequestro Químico.

#### **APÊNDICES: INSTRUMENTOS DE TRIAGEM E AUDITORIA CLÍNICA**

Ficha de Anamnese Clínico-Espiritual (Ficha FACE)

*Este documento é de uso exclusivo do Entrevistador Fraternal/Terapeuta. Contém dados confessionais e sensíveis. Deve ser arquivado em local seguro e incinerado ao fim do ciclo.*

### A. Identificação do Assistido

Nome Completo: \_\_\_\_\_

Data de Nascimento: \_\_\_/\_\_\_/\_\_\_ Sexo: M F ID Protocolo: \_\_\_\_\_

Data da Entrevista: \_\_\_/\_\_\_/\_\_\_ Entrevistador: \_\_\_\_\_

### B. Mapeamento Sinto-Fenomenológico (Pólo Clínico $\bar{C}$ vs. Pólo Mediúnico $\bar{M}$ )

Marque com (X) a incidência de sintomas relatados ou observados:

[C] Sinais Clínicos Somáticos / Psíquicos	[M] Sinais de Sensorialidade Expandida
Depressão Profunda / Melancolia	Premonição Invasiva (Antecipação Consciencial)
Crises de Pânico / Angústia Súbita	Fantasmia (Odores sem correspondência física)
Tristeza Crônica / Choro Sem Causa	Percepção Dinâmica de Campos Energéticos
Ideação Autodestrutiva / Desespero	Paralisia do Sono (Bloqueio ao Acordar)
Mudanças Bruscas de Humor	Vultos e Fenômenos Visuais Hipnopômnicos
Cansaço Físico Refratário / Fibromialgia	Clariaudiência / Vidência em Vigília
Respostas Autônomicas (Suor Frio, Arrepios)	Bloqueio / Cansaço após Aglomerações

### C. Escore Moral Baseado no Guia Antileme (Gabarito de Notas: 0 a 10)

Mensuração indireta por meio das respostas situacionais do assistido diante de contrariedades:

Eixo 1: Tolerância à Frustração (Sondagem de Orgulho/Egoísmo) Nota: \_\_\_\_\_ VV/HzM

Eixo 2: Alteridade e Julgamento (Sondagem de Ódio/Censura) Nota: \_\_\_\_\_ VV/HzM

Eixo 3: Resignação Ativa (Sondagem de Dúvida/Incredulidade) Nota: \_\_\_\_\_ VV/HzM

### 2. Ficha de Balanço Fluídico Coadjuvante (Ficha FBF)

*Documento é anônimo e fracionado. Contém o mapa técnico de engenharia de fluidos para a atuação dos passistas*

#### A. Controle de Tráfego Técnico (Sigilo Estrutural)

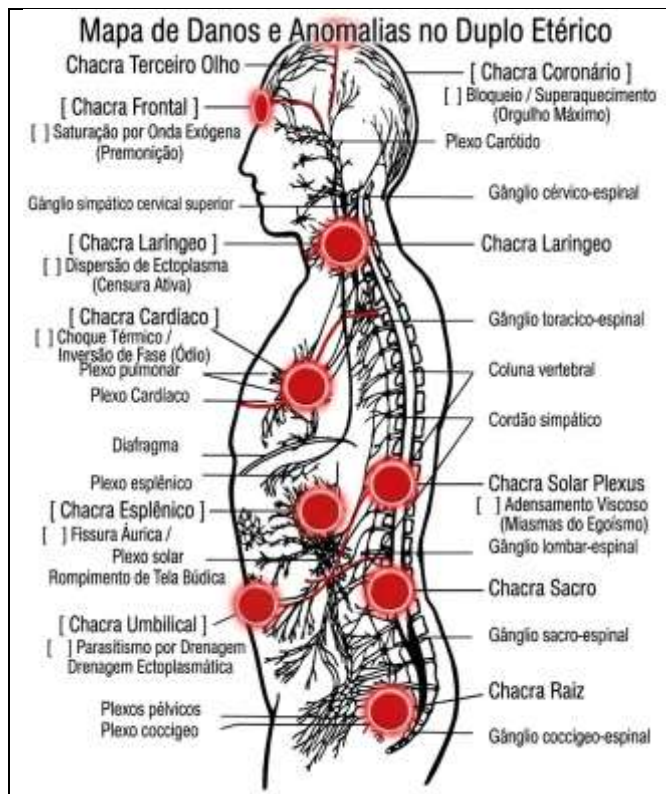
ID do Protocolo: \_\_\_\_\_ (Código correspondente à Ficha FACE)

Ciclo de Atendimento: 1ª Semana 2ª Semana 3ª Semana 4ª Semana

Operador de Triagem: \_\_\_\_\_ Data de Emissão: \_\_\_/\_\_\_/\_\_\_

## B. Mapa de Danos e Anomalias no Duplo Etérico

Roteiro de direcionamento magnético para as mãos do passista



## C. Prescrição Terapêutica Interdimensional (Fase de Projeção Sintrópica)

Vetor de Intensidade Recomendado (IP): Alta Pressão (10 VV) Dispersão Suave Fixação Local

Foco da Recomposição Fluídica: \_\_\_\_\_

Manobra de Aterramento (*Grounding*): Sim, acionar após o passe Não necessário

## REFERÊNCIAS

- (1) KARDEC, Allan. O Livro dos Espíritos. Tradução de Guillon Ribeiro. 93. ed. Brasília: Federação Espírita Brasileira, 2013 (Original publicado em 1857).
- (2) KARDEC, Allan. A Gênese: os milagres e as predições segundo o espiritismo. 53. ed. Brasília: Federação Espírita Brasileira, 2013 (Original publicado em 1868).
- (3) JUNG, Carl Gustav. O Eu e o Inconsciente. Tradução de Dora Ferreira da Silva. 27. ed. Petrópolis: Vozes, 2015 (Original publicado em 1933).
- (4) ABREU FILHO, Helio. Tratado de Engenharia Clínico-Espiritual: A Mecânica dos Fluidos e a Modelagem Matricial da Alma na Fluidoterapia. Disponível em: <http://heloabreufilho.com.br>. Acesso em: 18 mai. 2026.
- (5) MARALDI, Everton de Oliveira. Jung e as experiências mediúnicas. Junguiana: Revista Latino-Americana da Sociedade Brasileira de Psicologia Analítica, São Paulo, v. 29, n. 1, p. 39-49, 2011.
- (6) SHIGUNOV NETO, Alexandre; FORTUNATO, Ivan. Desafios e perspectivas para a iniciação científica na atualidade. Revista Brasileira de Iniciação Científica (RBIC), Itapetininga, v. 1, n. 1, p. 1-15, 2014.
- (7) XAVIER, Francisco Cândido; ANDRÉ LUIZ (Espírito). Mecanismos da Mediunidade. 26. ed. Rio de Janeiro: Federação Espírita Brasileira, 2013 (Original publicado em 1960).